

پارامترهای میدان بلوری ترکیب $\text{Ho}_\gamma\text{CoGa}_\lambda$ بر پایه توابع وانیر

قاسمی درچه، زهرا^۱; جلالی اسدآبادی^۱، سعید^۲; ملاباشی، لیلا^۱; صادقی کلیشادی، الهام^۱؛

رحیمی، شهربانو^۱؛ یزدانی کچویی، مجید^۱؛ نعمت‌اللهی، جواد^۱

گروه فیزیک، دانشگاه اصفهان، اصفهان

چکیده

در این مقاله، پارامترهای میدان بلوری و ترازهای انرژی شکافته شده توسط آن برای یون Ho^{r+} در ترکیب $\text{Ho}_\gamma\text{CoGa}_\lambda$ با ساختار چهار وجهی، با استفاده از نظریه تابعی چگالی بر پایه محاسبه ساختار نواری، و به دنبال آن تبدیل توابع بلوری به توابع وانیر، با گسترش هامیتونی موضعی بر اساس عملگرهای کروی محاسبه شده‌اند. سپس، پارامترهای میدان بلوری در یک برنامه شبیه هامیتونی شبیه‌اتمی که شامل میدان بلور، همیستگی $\xi f - \xi f$ ، جفت‌شدگی-اسپین مدار است، قرار داده می‌شوند. به این ترتیب یک هامیتونی شبیه‌اتمی تشکیل داده می‌شود که با حل آن ترازهای انرژی به دست می‌آیند. نتایج محاسبه شده با پیش‌بینی نظریه گروه‌ها در یک توافق خوب هستند.

Crystal field parameters of $\text{Ho}_\gamma\text{CoGa}_\lambda$ compound with wannier functions

Ghasemi Dorcheh, Zahra^۱ ; Jalali Asadabadi, Saied^۱ ; Mollabashi, Leil'a ; Sadeghi Kelishadi, Elham^۱ ; Rahimi, Shahrbanoo^۱ ; Yazdani Kachoei, Magid^۱ ; Nematollahi, Javad^۱

^۱Department of Physics, Faculty of Science, University of Isfahan, Isfahan

Abstract

In this paper, the crystal field parameters and splitted energy levels of Ho^{r+} ion in $\text{Ho}_\gamma\text{CoGa}_\lambda$ compound in tetragonal structure were calculated using the density functional theory based on band structure calculation, followed by a transformation of the Bloch to the WANNIER basis and expansion of the local Hamiltonian in terms of the spherical tensor operators. The crystal field is subsequently inserted in an atomic-like program, including the crystal field, $\xi f - \xi f$ correlation, spin-orbit coupling. In this way, an atomic-like Hamiltonian is constructed and then its corresponding eigenvalues are obtained by solving the atomic-like eigenvalue equation. The calculated results are in accord with the prediction of groups theory.

PACS No. 71.10, 71.15

همبسته‌ی قوی به شمار می‌روند، بسیاری از خواص این ترکیبات خاکی کمیاب، به رفتار الکترون‌های اوربیتال f آن‌ها بستگی دارند، لذا بررسی حالت‌های f این دستگاه‌های همبسته قوی از اهمیت ویژه‌ای برخوردار است، و امکان انواع مطالعات بنیادی و کاربردهای عملی را برای ما فراهم می‌کند [۲]. ترکیب‌های $R_\gamma\text{CoGa}_\lambda$ نماینده عناصر خاکی کمیاب، طیف متنوعی از خواص فیزیکی

مقدمه

عناصر خاکی کمیاب را می‌توان به طور طبیعی در ساختارهای بلوری بسیاری از گروه‌های مهمی از مواد، مانند کوپراتها، منگانیت‌ها یا کبالت‌ها گنجاند [۱]. لانتانیدها از سری عناصر شیمیایی فلزی هستند، که اغلب به عنوان عناصر خاکی کمیاب شناخته شده‌اند. ترکیب‌های لانتانیدی از جمله مهمترین دستگاه‌های بس ذره‌ای

که در آن C_q^k عملگر تانسوری کروی از مرتبه k و ضرایب B_q^k پارامترهای میدان بلوری هستند. به دلیل حقیقی و هرمیتی بودن پتانسیل داریم:

$$B_q^k = (-1)^q B_{-q}^{k*}. \quad (3)$$

پارامترهای میدان بلوری، طی چند مرحله محاسبه شده‌اند: ابتدا ساختار نواری ترکیب مورد نظر را در چارچوب نظریه تابعی چگالی بر اساس امواج تخت بهبود یافته، آن گونه که در بسته محاسباتی k WIEN2k [۱۰] کد بندی شده است، با استفاده از روش مغذه‌باز (قرار دادن الکترون‌های اوربیتال f در مغذه) به دست می‌آوریم. محاسبات به صورت غیراسپین-قطبیده است. نتیجه این مرحله، به دست آوردن یک پتانسیل بلوری است. در مرحله دوم، الکترون‌های حالت f به صورت الکترون‌های ظرفیت وارد اجرا می‌شوند. در این مرحله، سایر الکترون‌ها از محاسبات خارج می‌شوند. مرحله‌ی سوم، توابع وانیر را از توابع بلوخ بدست می‌آوریم و هامیلتونی موضعی در پایه‌های توابع وانیر بدست می‌آید، که بدین منظور از بسته محاسباتی WANNIER^{۹۰} [۱۲] و WIEN2WANNIER [۱۳] بهره می‌بریم. در آخر هامیلتونی موضعی بر اساس هماهنگ‌های کروی بسط داده می‌شوند، و ضرایب بسط که همان پارامترهای میدان بلور هستند، تعیین می‌شوند. پارامترهای به دست آمده در هامیلتونی شبه اتمی [۱۴] که شامل میدان بلور، همبستگی $f-f$ ، جفت شدگی اسپین-مدار است، جایگزین می‌شوند و با حل هامیلتونی، ترازهای انرژی به دست می‌آیند.

نتایج

محاسبات با تقریب شب تعمیم یافته و استفاده از تابعی تبادلی-همبستگی PBE-GGA انجام شده‌اند. انرژی جداسازی بین حالت‌های ظرفیت و مغذه ۱۱-ریدبرگ و تعداد نقاط بهینه در منطقه اول بریلوئن ۳۰۰۰ بدست آمده‌اند. پارامترهای $R_{MTK_{MAX}}$ و G_{MAX} در محاسبات به ترتیب ۷ و ۱۶ در نظر گرفته شده‌اند، که R_{MT} کوچکترین شعاع کره‌ی مافین‌تین و K_{MAX} اندازه بزرگترین بردار

جذاب، از جمله رفتار فرمیونی سنگین، حالت پایه کوندو، حساسیت کوانتومی، ابررسانایی ناشی از فشار و... را نشان می‌دهند [۴، ۳]. بنابراین، محاسبه پارامترهای میدان بلوری در این ترکیبات مفید به نظر می‌رسد. همچنین، محاسبه اثرات میدان الکتریکی بلوری در این سری ترکیبات را به ما نشان می‌دهد [۵]. ویژگی‌های این ترکیبات به طور عمده به ساختار ترازهای انرژی الکترونی یون‌های لاتانیدی آن‌ها وابسته‌اند. از این رو توجه بسیاری به حالت‌های پایه این ترکیبات شده است [۶]. دستیابی به خواص فیزیکی و شیمیایی این ترکیبات، از جمله گرمای ویژه، پذیرفتاری مغناطیسی و...، نیازمند اطلاعاتی از ترازهای انرژی و میدان بلوری آن‌ها می‌باشد [۷]. برای توصیف دستگاه‌های همبسته قوی با حالت‌های f به طور نظری با مشکلاتی مواجه هستیم. البته تا زمانی که الکترون‌های f جایگزیده باشند، می‌توان از هامیلتونی مؤثر برای بررسی این حالت‌ها بهره برد [۸]. تعیین پارامترهای میدان بلوری CFPs برای بخش هامیلتونی میدان بلوری دشوار است. تعداد داده‌های تجربی معمولاً برای تعیین پارامترهای میدان بلوری کافی نیستند. بنابراین، تلاش‌های بسیاری برای ارائه مدل‌هایی به منظور تعیین نظری این پارامترها انجام شده‌اند و همچنان ادامه دارند [۹]. اخیراً، روشی با استفاده از نظریه‌ی تابعی چگالی و براساس محاسبه‌ی ساختار نواری و استخراج توابع وانیر پیشنهاد شده است، که در آن هامیلتونی موضعی با توابع وانیر در یک سری از عملگرهای تانسور کروی توسعه داده می‌شود [۱۰]. در این مقاله، پارامترهای میدان بلوری یون Ho^{+} و همچنین ترازهای شکافته شده توسط آن‌ها، برای ترکیب Ho_xCoGa_8 محاسبه شده‌اند.

روش انجام محاسبات

عملگر هامیلتونی مؤثر برای حالت‌های f بدین صورت است:

$$H = H_A + H_{CF}, \quad (1)$$

که در آن H_A [۱۱] هامیلتونی یون آزاد، و H_{CF} [۸] هامیلتونی میدان بلوری است. هامیلتونی میدان بلوری در زیر آورده شده است:

$$H_{CF} = \sum_{K=0}^{K_{MAX}} \sum_{q=-K}^K B_q^k C_q^k, \quad (2)$$

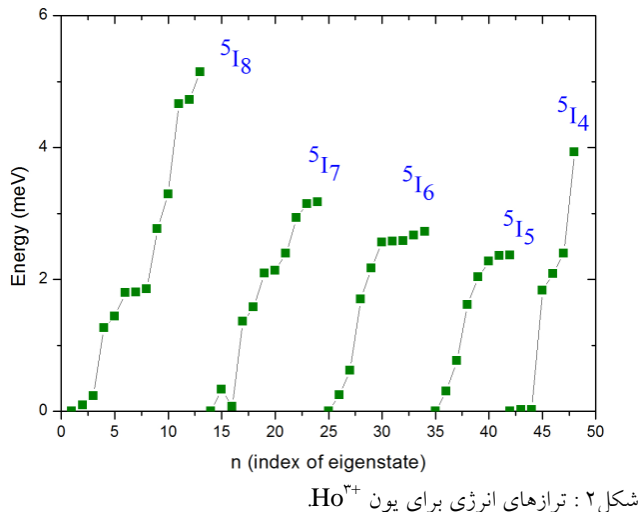
جدول ۱ : پارامترهای میدان بلوری ترکیب Ho_xCoGa_8 ، همه پارامترها بر واحد cm^{-1} بیان شده‌اند.

پارامترهای حقیقی								
-۳	۶۶	-۳	-۱۰۰	۱۴۵	-۱۰۰	-۱۰۱	-۱۰۱	q
۴	۰	-۴	۴	۰	-۴	۰		
۶	۶	۶	۴	۴	۴	۲		k

با توجه به جدول ۱ برای ترکیب Ho_xCoGa_8 ملاحظه می‌کنیم:

$$\text{Re}(B_{-4}^4) = \text{Re}(B_4^4) = -100, \quad (5)$$

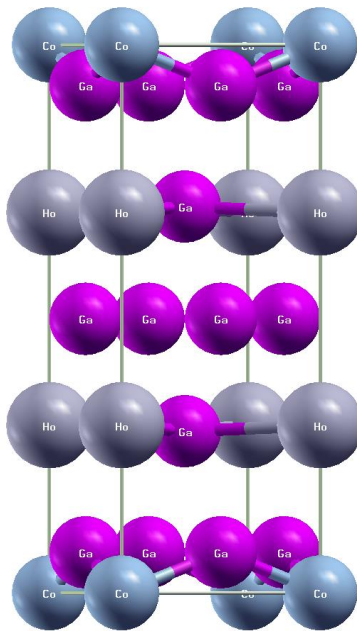
$$\text{Re}(B_{-4}^6) = \text{Re}(B_4^6) = -3, \quad (6)$$



شکل ۲ : ترازهای انرژی برای یون Ho^{3+} .

بنابراین، پارامترهای محاسبه شده با نظریه گروه در توافق هستند. در شکل ۲ ترازهای انرژی شکافته شده میدان بلوری یون Ho^{3+} در حالت پایه و حالت‌های برانگیخته نشان داده شده‌اند. یون Ho^{3+} دارای ده الکترون f^7 است. با توجه به زوج بودن الکترون‌ها، اندازه حرکت زاویه‌ای کل (J)، عدد صحیح و تعداد تبهگنی ($2J+1$)، فرد خواهد بود [۱۵]. بنابراین، حالت پایه و حالت‌های برانگیخته برای این یون به ترتیب $^5\text{I}_8$ ، $^5\text{I}_7$ ، $^5\text{I}_6$ ، $^5\text{I}_5$ و $^5\text{I}_4$ هستند. از نظریه‌ی گروه‌ها انتظار داریم که حالت پایه برای گروه تقارنی چهارگوشی به سیزده تراز، اولین حالت برانگیخته به هشت تراز، دومین حالت برانگیخته به ده تراز، سومین حالت برانگیخته به هشت تراز و چهارمین حالت برانگیخته به هفت تراز شکافته شوند.

موج قطع بسط امواج تحت هستند. یاخته واحد ساختار Ho_xCoGa_8 در شکل ۱ نشان داده شده است.



شکل ۱ : یاخته واحد ترکیب Ho_xCoGa_8 .

با در نظر گرفتن تقارن نقطه‌ای، تنها تعدادی از پارامترهای میدان بلوری غیرصفر می‌باشند. زیرا پتانسیل بلوری باید تحت تمام عمل‌های تقارنی گروه تقارنی نقطه‌ای ناوردا بماند [۱۵]. در ادامه پارامترهای میدان بلوری برای ترکیب Ho_xCoGa_8 بدست آمده‌اند. ترکیب Ho_xCoGa_8 دارای ساختار چهاروجهی با گروه فضایی $\text{C}_{\text{v}}/\text{P}_{\text{i}}$ و mmm گروه تقارن نقطه‌ای (چهارگوشی) می‌باشد [۱۵]. هامیلتونی میدان الکتریکی بلوری برای یک تقارن چهارگوشی به صورت زیر است:

$$H_{CF} = B_0^2 C_0^2 + B_{-4}^4 C_{-4}^4 + B_0^4 C_0^4 + B_4^4 C_4^4 + B_{-4}^6 C_{-4}^6 + B_0^6 C_0^6 + B_4^6 C_4^6, \quad (4)$$

که در آن همگی پارامترهای میدان بلوری (B_q^k) حقیقی هستند. بنابراین، هفت پارامتر مستقل داریم. پارامترهای میدان بلوری برای ترکیب Ho_xCoGa_8 در جدول ۱ ارایه شده‌اند.

- [۱] R. Mallik, and E. Sampathkumaran, "Magnetic precursor effects, electrical and magnetoresistance anomalies, and heat-capacity behavior of Gd alloys"; *Physical Review B* **58**, (۱۹۹۸) ۷۸۹۱.
- [۲] A. F. Furrer, "Crystal field effects in metals and alloys"; (Springer Science & Business Media, ۲۰۱۲)
- [۳] P. Novák, and Z. Liu, "Rare Earth: New Research"; (New York: Nova Science Publishers ۲۰۱۳)
- [۴] P. Novák, K. Knížek, and J. Kuneš, "Crystal field parameters with Wannier functions: Application to rare-earth aluminates"; *Physical Review B* **87**, (۲۰۱۳) ۱۳۹–۲۰۵.
- [۵] P. Blaha, K. Schwarz, G. Madsen, D. Kvasnicka, and J. Luitz, "wien'k"; An augmented plane wave+ local orbitals program for calculating crystal properties (۲۰۰۱)
- [۶] W. Carnall, G. Goodman, K. Rajnak, and R. Rana, "A systematic analysis of the spectra of the lanthanides doped into single crystal LaF₃"; *The Journal of Chemical Physics* **91**, (۱۹۸۹) ۳۴۴۳–۳۴۵۷.
- [۷] A. A. Mostofi, J. R. Yates, Y.-S. Lee, I. Souza, D. Vanderbilt, and N. Marzari, "wannier⁹⁺: A tool for obtaining maximally-localised Wannier functions"; *Computer physics communications* **178**, (۲۰۰۸) ۶۸۰–۶۹۹.
- [۸] J. Kuneš, R. Arita, P. Wissgott, A. Toschi, H. Ikeda, and K. Held, "Wien'wannier: From linearized augmented plane waves to maximally localized Wannier functions"; *Computer Physics Communications* **181**, (۲۰۱۰) ۱۸۸۸–۱۸۹۵.
- [۹] S. Edvardsson, and D. Åberg; "An atomic program for energy levels of equivalent electrons: lanthanides and actinides"; *Computer physics communications* **173**, (۲۰۰۱) ۳۹۶–۴۰۶.
- [۱۰] B. G. Wybourne; "Spectroscopic properties of rare earths"; (Interscience New York). (۱۹۶۵)

[۱۵] نتایج محاسبه شده توسط کد REcfp نشان می‌دهند که تراز پایه، به سیزده تراز، با نه تبهگنی یگانه و چهار تبهگنی دوگانه شکافته می‌شود. اولین حالت برانگیخته به یازده تراز با هفت تبهگنی یگانه و چهار تبهگنی دوگانه، حالت برانگیخته دوم به ده تراز با هفت تبهگنی یگانه و سه تبهگنی دوگانه، حالت برانگیخته سوم به هشت تراز با پنج تبهگنی یگانه و سه تبهگنی دوگانه و چهارمین حالت برانگیخته به هفت تراز با پنج تبهگنی یگانه و دو تبهگنی دوگانه شکافته می‌شوند.

نتیجه‌گیری

در این مقاله پارامترهای میدان بلوری و ترازهای شکافته شده توسط میدان بلوری، در چارچوب نظریه تابعی چگالی، با توسعه هامیلتونی موضعی بر حسب سری عملگرهای کروی و براساس توابع وانیر، برای ترکیب Ho_xCoGa_۸ محاسبه شده‌اند، که با پیش‌بینی نظریه گروه‌ها در توافق‌اند. همچنین نتایج بدست آمده در این مقاله نشان می‌دهند که هامیلتونی موضعی بر اساس توابع وانیر یک راه موثر در تعیین میدان بلوری یون‌های خاکی کمیاب فراهم می‌کند. سادگی روش حاضر، آن را به یک ابزار مفید، برای محاسبه خواص نوری، مغناطیسی و ترمودینامیکی اتم خاکی کمیاب می‌سازد.

مرجع‌ها

- [۱] P. Novák, K. Knížek, M. Maryško, Z. Jirák, and J. Kunes, "Crystal field and magnetism of Pr³⁺ and Nd³⁺ ions in orthorhombic perovskites"; *Journal of Physics: Condensed Matter* **25**, 44601 (۲۰۱۳).
- [۲] D. A. Joshi, C. Tomy, and S. Malik, "Magnetic, transport and thermal properties of ternary indides R_xCoIn₈ (R= rare earths and Y)"; *Journal of Physics: Condensed Matter* **19**, (۲۰۰۷) ۱۳۶۲۱۶.
- [۳] G. Chen, S. Ohara, M. Hedo, Y. Uwatoko, K. Saito, M. Sorai, and I. Sakamoto, "Observation of superconductivity in heavy-fermion compounds of Ce_xCoIn₈"; *Journal of the Physical Society of Japan* **71**, (۲۰۰۲) ۲۸۳۶–۲۸۳۸
- [۴] E. Bauer, H. Kaldaarar, A. Prokofiev, E. Royanian, A. Amato, J. Sereni, W. Brämer-Escamilla, and I. Bonalde, "Heavy fermion superconductivity and antiferromagnetic ordering in CePr₃Si without inversion symmetry"; *Journal of the Physical Society of Japan* **74**, 051009 (۲۰۰۷)
- [۵] D. A. Joshi, R. Nagalakshmi, S. Dhar, and A. Thamizhavel, "Anisotropic magnetization studies of R_xCoGa₈ single crystals (R= Gd, Tb, Dy, Ho, Er, Tm, Y, and Lu)"; *Physical Review B* **77**, (۲۰۰۸) 1744–420.